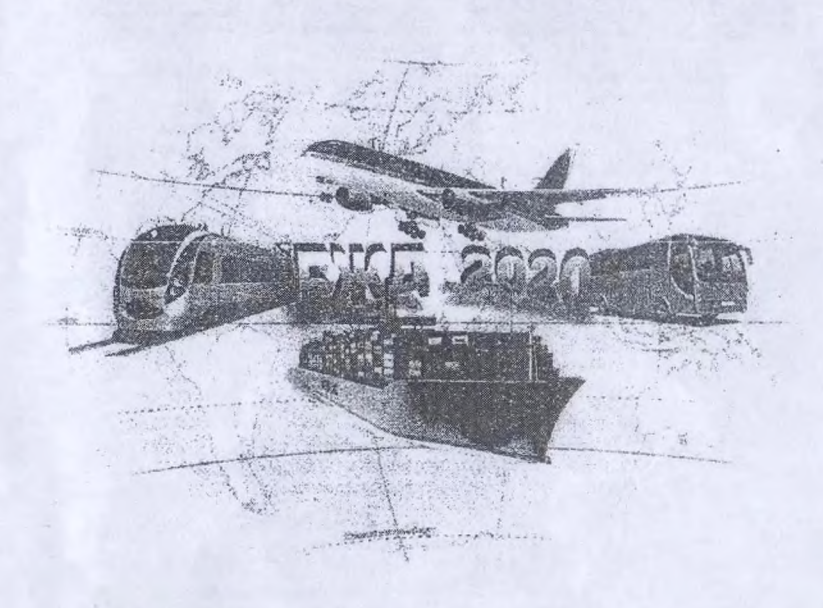


МІНІСТЕРСТВО ОСВІТИ І НАУКИ УКРАЇНИ ХЕРСОНСЬКА ДЕРЖАВНА МОРСЬКА АКАДЕМІЯ НАЦІОНАЛЬНА АКАДЕМІЯ НАУК УКРАЇНИ ДЕРЖАВНА СЛУЖБА УКРАЇНИ З НАДЗВИЧАЙНИХ СИТУАЦІЙ МІЖНАРОДНА АКАДЕМІЯ НАУК ЕКОЛОГІЇ ТА БЕЗІІВКИ ЖИТТЕДІЯЛЬНОСТІ БОГОРЕАН ASSOCIATION FOR SECURITY КРЮІНГОЗА КОМПАНІЯ «MARLOW NAVIGATION» ЛИТОВСЬКА МОРСЬКА АКАДЕМІЯ ВІЙСЬКОВО-МОРСЬКА АКАДЕМІЯ ЛАТВІЙСЬКА МОРСЬКА АКАДЕМІЯ

МАТЕРІАЛИ VII МІЖНАРОДНОЇ НАУКОВО-ПРАКТИЧНОЇ КОНФЕРЕНЦІЇ

БЕЗПЕКА ЖИТТЕДІЯЛЬНОСТІ НА ТРАНСПОРТІ ТА ВИРОБНИЦТВІ - ОСВІТА, НАУКА, ПРАКТИКА



м. Херсон 09 - 12 вересня 2020 року

ФИЗИКА НЕКОТОРЫХ РАДИАЦИОННЫХ ЯВЛЕНИЙ
ОГРАНИЧИВАЮЩИХ БЕЗОПАСНОСТЬ ЭКСПЛУАТАЦИІ ЯДЕРНЫХ РЕАКТОРОВ ТИПА ВВЭР Бабич А.В., Клепиков В.Ф., Останчук П.Н. Институт электрофизики и радиационных технологий НАН Украивы (г Харьков, Украина)
ТЕРМОГРАФІЧНИЙ КОНТРОЛЬ КОМПРЕСОРНОГО УСТАТКУВАННЯ НА АКС ЯК ЗАСІБ ПІДВИЩЕННЯ БЕЗПЕКИ 19 Базалеев М.І., Брюховенький В.В., Клепіков В.Ф., Литвиненко В.В., Прохоренко Є.М. Інститут електрофізики і радіаційних технологій НАН України (м. Харків, Україна)
ГИСТЕРЕЗИС СОПРОТИВЛЕНИЯ ПЛАТИНОВОЙ ПРОВОЛОКИ ХОЛОДНОЙ ВОДОРОДНОЙ ВОЗДУШНОЙ СМЕСИ Калинчак В.В., Черненко А.С., Федоренко А.В. Одесский зациональный университет имени И.И. Меченкова (г. Одесса, Украина) Селиванов С.Е. Хірсонская государственная мерская академия (г. Херсонс, Украина) Софронков А.Н. Одесский государственный экологический университет (г. Одесса, Украина)
ELECTRIC RESISTENCE HYSTERESIS OF PLATINUM FILAMENT I CHILLED AIR/HYDROGEN MIXTURES Kalinchak V.V., Chernenko O.S Odessa National University named after I. I. Mechnykov (Odessa, Ukraine) Fedorenko A.V., Kramarenko V.V. Danube Institute National University «Odessa Maritime Academy» (Izmail, Ukraine) Selivanov S.E. Kherson State Maritime Academy (Kherson, Ukraine) Sofronkov O.N. Odessa State Ecological University (Odessa, Ukraine)

доцильність проведення

Інститут електрофізики і радіаційних технологій НАН України

МОНІТОРИНГУ НА БРИЗКАЛЬНИХ БАСЕЙНАХ АЕС

Лигвиненко В.В., Мелякова О.А., Прохоренко €.М., Погребняк П.С.

ТЕРМОГРАФІЧНОГО

210

Хворост М.В., Ворожбіян М.І., Іващенко М.Ю.

м Харків, Україна)

ПРО

(м. Харків, Україна)

Харківський національний університет міського господарства імені О.М. Бекетова

ОСОБЛИВОСТІ ФОРМУВАННЯ ДИНАМІЧНОЇ МОДЕЛ ОПЕРАТИВНОГО МОНІТОРИНГУ РІВНЯ ЗАБРУДНЕННЯ ЕКОСИСТЕМИ ВНАСЛІДОК АВАРІЙ НА ОБ'ЄКТАХ ЯДЕРНО ЕНЕРГЕТИКИ 21 Тютюник В.В., Соболь О.М., Калугін В.Д. Національний університет цивільного захисту України (м. Харків, Україна) Квасов В.А., Захарчелко Ю.В. Науково-дослідна установа «Український науково-дослідний інститут екологічних проблеми (м. Харків, Україна)	A i
IMPROVEMENT OF THE SURFACE STRUCTURE OF STEEL BALLS OF DRUM MILLS, AS A RESULT OF INFLUENCES OF HIGH-CURRENT ELECTRON BEAM Prokhorenko E.M., Lytvynenko V.V., Klepikov V.F., Melyakova O.A., Shatov V.V. Institute of Electrophysics and Radiation Technologies (Kharkiv, Ukraine) Lonin Yu.F., Ponomarev A.G., Uvarov V.T., NSC Kharkiv Institute of Physics and Technology (Kharkiv, Ukraine) Prokhorenko T.G. Kharkov National Automobile and Highway University (Kharkiv, Ukraine)	T
СЕКЦІЯ 4. ЕКОЛОГІЧНА БЕЗПЕКА, ПРОБЛЕМІ СНЕРГОЗБЕРЕЖЕННЯ ТА АЛЬТЕРНАТИВНІ ДЖЕРЕЛА ЕНЕРГ 22	ï
ИСТОЧНИКИ И ПЕРСПЕКТИВЫ ПОВЫШЕНИЯ ЭФФЕКТИВНОСТ ИСПОЛЬЗОВАНИЯ ЭНЕРГИИ 22 Абрамов Г.С. Херсопская государственная морская академия (г. Херсоп, Україна)	
ХІМІЧНИЙ СКЛАД ТА ЗАКОПОМІРНОСТІ УТВОРЕННЯ СТІЧНИ	X

Андронев В.А., Макаров С.О.

Національний університет цивільного захисту України

(м. Харків, Україна)

Данченко Ю.М., Обіженко Т.М.

Харківський національний університет будівництва та архітектури

(м. Харків, Україна)

СОВРЕМЕННЫЕ ПРОБЛЕМЫ КАВИТАЦИИ И ИХ РЕШЕНИЕ

Бабенчук Н.С., Ермошкин Н.Г.

Ивститут Военно-Морских Сил Национального университета «Одесская морская аказемыя» (г. Одесса, Украина)

дезинфекції систем кондишонування вилив зараження електричних MIKPOBHE **АВТОМОБІЛІВ**

Бажинов А.В., Кравцов М.Н

Харківський національний автомобільно-дорожній унперситет

(м Харків. Україна)



0

— тиск повітря — 10 кГ/см²; оберти компремуючих гвинтів — 2200 об/хв; режичування повітря — 7 кГ/см²; обертв компримируючих гвинтів — 2400 об/хв. Порацюючому компресорі в сталому тепловому режимі існують потенційниебезпечні вузли зчленування, на яких в умовах дії вібраційного навантаження можуть виникнути дефекти типу «розгерметизація», «концентрація механічник напружень» або «тертя поверхонь зчленування». При цьому, внаслілов виділення теплової енергії вібрації, температура в області таких дефекти підвищується (див.рис.1). Дані про характер просторового розподілу і значення величини температури на корлусі працюючого компресора дозволяють вивчини особливості процесів тепловиділення в компремуючій маслозаповнення гвинтовій парі, оптимізувати температурний режим роботи систем маслянного охолодження, влаговідділення і очищення повітря.

Висновки. Термографічний контроль компресорного обладнання, що призначено для експлуатації та експлуатується на АЕС є перспективним інсгрументом забезпечення дистанційного моніторингу готовності до роботи в штатних та аварійних ситуаціях. Це також забезпечить виконання вимог по забезпеченню стисненим повітрям належної якості пневмоприводів локалізуючої арматури та іншого відповідального обладнання.

ЛІТЕРАТУРА

- 1. Кирик Г. В. Перспективы развития производства компрессорного и энергетического оборудования для атомной энергетики Украины / Г. В. Кирик, П. Е. Жарков, А. Н. Бондаренко // Компрессорное и энергетическое машиностроение. № 3(25). 2011. С. 2 6.
- Компрессоры для атомных станций (технические требования эксплуатирующей организации) СТО 1.1.1.01.001.0897-2013.
- 3. Базалеев Н.И. Тепловизионная дефектоскопия и диагностика компрессорного оборудования / Н.И. Базалсея, Б. Б. Бандурян, В. Ф. Клепиков, Г. В. Кирик, А. Д. Стадник // Компрессорное и энергетическое машиностроение. 2010. №2(20). С. 37 43.





ГИСТЕРЕЗИС СОПРОТИВЛЕНИЯ ПЛАТИНОВОЙ ПРОВОЛОКИ В ХОЛОДНОЙ ВОДОРОДНОЙ ВОЗДУШНОЙ СМЕСИ

Калинчак В.В., Черненко А.С., Федоренко А.В. Одесский национальный университет именя И.И. Мечникова (г. Одесса, Украина)

> Селиванов С.Е. Херсонская государственная морская академия (г. Херсон, Украина)

Софронков А.Н. Одесский государственный экологический университет (г. Одесса, Украина)

Вступление. Целенаправленное управление макрокинетикой окисления и непосредственно горением горючих газов на частицах и тонких проволочках метылов платиновой группы путем выбора дисперсности (диаметра). относительной концентрации горючего газа и других внешних условий, обуславливающих гистерезис температуры катализатора, является актуальной и недостаточно изученной проблемой [1 - 4]. Одиночная проволока (нить) металлического катализатора (металлы платиновой группы и их сплавы), нагреваемые электрическим током, а также отдельные частицы продолжают использовать для исследования макрокинетичних механизмов гетерогенного окисления и беспламенного горения [1, 2]. При правильном выборе диаметра проволоки катализатора, концентрации горючего газа в воздухе, температуре газовоздушной смеси и эквивалентного нагрева электрическим током, возможно возникновение каталитического зажигания, а затем беспламенного горения газовой смеси. Это может осуществляться при определенных концентрациях горючего газа даже в этносительно холодных газовоздушных смесях при выполнении условия, при котором начальная температура проволоки или нагрев электрическим током превышают критические значения каталитического зажитания.

Тонкая металлическая проволока катализатора используют в качестве первичного латчика термохимического газоанализатора примесей горючих газов в газовоздушной смеси. Его работа основана на использовании верхнего высокотемпературного режима гистерезисной (двухзначной) зависимости температуры металлической проволоки катализатора от концентрации примеси горючего газа в газовоздушной смеси при постоянном нагреве электрическим током и температуре газовоздушной потока [3]. Верхний устойчивый режим характеризуется линейной зависимостью температуры беспламенного горения от концентрации примеси горючего газа для тонкой проволоки, когда лучистыми теплопотерями можно пренебречь [4].

Гистерезисом в общем случае называется явление, которое заключается в том, что физическая величина, характеризующая состояние системы,



200

неоднозначно зависит от физической величины, характеризующей висшинусловия [5]. Гистерезне имеет место в тех случаях, когда состояние тела в данный момент времени определяется внешними условиями не только в то же время, на в в предыдущие моменты времени. Системы с гистерезисом нелинейные и могут быть сложяыми для математического моделирования.

В работах [4, 6] обращается внимание на гистерезисный характер зависимости температуры проведа от внешних параметров системы. Это связание с непинейностью скорости химического тепловыделения от температуры Изучение характеристик температурного гистерезиса, позволяющие определиты параметры химических реакций, является важной темой гетерогенного катализа [7].

Липейной зависимости от концентрации примеси может обладать сопротивление металлической проводоки катализатора или разности потенциалов на концах провода. Это возможно при малости теплопотеризлучением, первом порядке каталитической реакции по горючему газу и сопротекания в диффузионном режиме.

Особенностью гистерезисной зависимости температуры проволоки например от температуры газовой смеси [6], является возможность осуществления каталитического горения газов в холодных смесях в результите предварительного нагрева катализатора. Такой процесс называется вынужденным воспламенением или зажиганием газа, который до сих пор недостаточно изучен.

Целью работы является аналитическое описание зависимости сопротивления металлической проволоки от концентрации горючего газа и температуры газовоздушной смеси. В качестве предмета исследования рассматриваются режимы каталитического окисления водорода в составе водород-воздушной смеси (объемная доля меньше 10%) на тонкой платиновой проволоке (d=0.1 мм, L=108 мм) ($H_2+0.5O_2 \xrightarrow{P_1} H_2O$), подключенной в электрическую цепь со стабилизацией силы тока.

Постановка задачи и результаты исследований. Временная зависимость температуры и сопротивления длинной металлической проволоки катализатора определяется с гистерезисного нестационарного уравнения теплового баланса:

$$c_{c}\rho_{c}\frac{V_{c}}{S_{c}}\frac{\partial T}{\partial t} = q_{eff}, \quad q_{eff} = q_{ch} + q_{f} - q_{g} \qquad T(t=0) = T_{h}, \tag{1}$$

$$r_{el} = r_{el,0} \left[1 + \Omega (T - T_0) \right] = \frac{4L\eta_0}{\pi d^2} \left[1 + \Omega (T - T_0) \right], \quad q_{eh} = Q_a \rho_{ge} k Y_{a,e} \left(1 + \psi_T \right), \quad (2)$$

$$k = k_0 \exp\left(-\frac{E}{RT}\right), \ q_j = \frac{4I^2\eta}{\pi^2d^3}, \ q_g = \beta c_{pg}p_g Le^{-1+m}\left(T - T_{g0}\right), \ Y_{\infty} = \frac{Y_{g}}{1 + Se},$$

где Q_a — тегловой эффект реакции, Дж/кг; T_{ga} — температура газовоздушной смеси, К; Y_{as} , Y_a — относительная массовая вонцентрация горючего газа вблизи поверхности проволоки и в газовоздушной смеси, Se — диффузионно-





етнотическое отношение (отношение диффузиояного к кинетическому опротивлению), E — энергия активации, Дж/моль; R — универоальная газовая востоянная, Дж/(моль K); ψ_T — поправка на термодиффузию; d, L — диаметр и вница проволоки катализатора, η — удельное сопротивление проволоки, Le — унитерий Льюиса.

В дальнейшем удобно ввести эффективную температуру окружающей госды [4, 6]:

$$T_{g} = T_{g0} + \frac{q_{J}}{\beta \rho_{g} c_{gg} L e^{-1+m}} = T_{g0} + \frac{4 \eta L e^{1-m}}{S h \pi^{2} D_{a} \rho_{g} c_{gg}} \left(\frac{I}{d}\right)^{2}.$$
 (3)

Это температура, к которой стремится со временем температура инертной проволоки, нагреваемой электрическим током.

Проведем анализ устойчивых и критических стационарных решений (1) и (2) в виде зависимостей температуры смеси $T_g(T)$ и концентрации горючего газа $F_g(T)$ от стационарной температуры платиновой проволоки, которые представим виде [6]:

$$T_{g} = T - T_{Q}Y_{\alpha} \frac{d\rho_{g\sigma}k_{0} \exp\left(-\frac{E}{RT}\right)}{D_{\alpha}\rho_{g}Sh} \left(1 + Se\left(1 - C_{T}\frac{T_{Q}Y_{\alpha}}{T}\right)\right)^{-1}, \tag{4}$$

$$\psi_T = C_T \frac{T - T_g}{T}, C_T = (2 - n) Le^{nt}, T_Q = \frac{Q_o Le^{1 - nt}}{c_{pe}}, Se = \frac{k\rho_{gs}}{D_e \rho_g Sh} d$$

$$Sh \qquad D_e \rho_g = \frac{T - T_g}{T}, C_T = \frac{L\rho_{gs}}{T}$$

$$Y_a = \frac{Sh}{d} \frac{D_a \rho_g}{(1 + \psi_T) \rho_{ge} k_0} (1 + Se) \frac{(T - T_g)}{T_Q} \exp\left(\frac{E}{RT}\right). \tag{5}$$

Расчеты проводились при следующих параметрах: E=55 кДж/моль, $k_0=0.8\cdot 10^6$ м/с, $Q_a=120.9$ МДж/кг H_2 , $D_{a0}=0.6\cdot 10^{-4}$ м²/с, m=0.33, n=1.82, Sh=0.51 (U=0.15 м/с), $T_0=273$ К, $\rho_{ee}=1.293$ кг/м³, $\varepsilon_{pe}=1005$ Дж/(кг·К), $\Omega=39.3\cdot 10^{-4}$ К $^{-1}$, $\eta_0=9.81\cdot 10^{-8}$ Ом·м.

На рис. 1а представлена параметрическая зависимость (2), (4) относительного сопротивления платинового проволочке от эффективной температуры газовоздушной смеси при двух концентрациях примеси водорода. Причем $r_{\rm el}/r_{\rm el,0} \approx T/T_0$. Видно, что для выхода на режим каталитического горения газовоздушной смеси на проволочке катализатора есть два качественно различных пути:

1. Повышение эффективной температуры газовой смеси (непосредственное нагревание смеси или нагрев электрическим током) выше критической температуры воспламенения $T_g > T_{gl}$. В этом случае повышение температуры проволоки катализатора происходит спонтанно (рис. 1а, показано стрелкой). При температуре воспламенения T_{gl} характерно протекание химической реакции в кинетической области $Se \square 1$ [6]. В этом случае величина T_{gl} слабо зависит от диаметра проволоки [6]. Поэтому, как следует из (3) при



нагревании электрическим током величина силы тока каталичической воспламенения линейно зависит от диаметра проволоки;

2. Предварительный нагрев непосредственно проволоки катализатора так, чтобы начальная температура проволоки оказалась выше температура зажигания - определенного критического значения (рис.2). Это возможно при температурах газовой смеси $T_{ge} < T_g < T_g$. Критические значения начальный температуры проволоки катализатора (температуры зажигания) лежат пределах между температурой самовоспламенения (точка е) и погасание (точка е) (рис. 1а, большой пунктир) и удовлетворяющих уравнению (4).

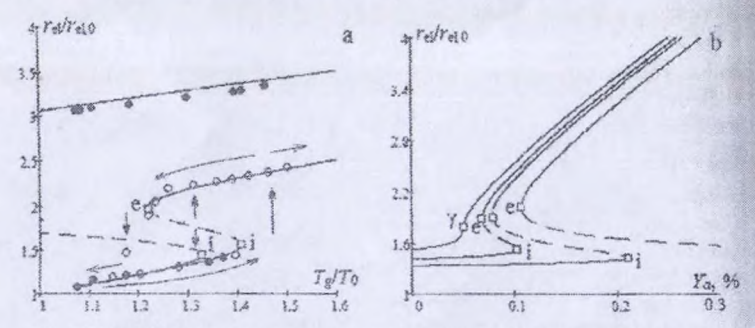


Рисунок 1. а) Зависимость стационарного сопротивления платиновой проволоки (температуры) от безразмерной температуры водородно-воздушной емеси. Концентрация водорода Y_{a} : 1) \circ – 0.09%, 2) \bullet – 0.19%. Днаметр нити 100 мкм, Sh = 0.51. Расчет по (2) и (4). Крупный пунктир – критические значения начальной температуры и сопротивления проволоки. b) Зависимость стационарного сопротивления проволоки катализатора от концентрации примеси водерода. Температура газовоздушной смеси T_g : 1) 293 K, 2) 360 K, 3) 380 K, 4) 410 K. Расчет по (2) и (5)

Предварительный нагрев проволоки до нужной температуры возможен при индукционном или лазерном импульсном нагреве.

Прекращение каталитического горения происходит при уменьшении температуры каталитического горения до температуры погасания (рис. 1а, точка е, кривая 1) или в результате снижения температуры смеси ($T_g < T_{xe}$), или при снижении концентрации примеси горючего газа (рис. 1b). При высоких концентрациях примеси горючего газа устойчивое каталитическое горение сохраняется при снижении температуры смеси до комнатной температуры, равносильно отключению электрического тока через нить (рис. 1а, кривая 2).

Из рис.1b видно, что критическое значение концентрации примеси Y_{oi} при которой происходит каталитическое самовоспламенение примесей газов сильно зависит от эффективной температуры газовой смеси. Так ее увеличения всего на 20 К приводит к снижению концентрации самовоспламенения примеси в два раза. Поэтому в широком диапазоне значений эффективной температуры газа возможно лишь каталитическое зажигания смеси.



Из рис. 1 видно, что сопротивление (следовательно, и температура) волоки в режиме каталитического горения практически линейно выпичнается с ростом концентрации примеси водорода и эффективной вопературы газовоздушной смеси.

Для оденки времени задержки каталитического зажитания примесей причего газа на проволоке катализатора можно ограничиваться длительностью завенения температуры от точки перегиба (i') до стационарного значения (m)[8]. понтельность этой стадии можно оценить как:

$$\tau_{\mathrm{2}} = \tau_{\mathrm{m}} \ln \Biggl(\Biggl(1 - \frac{T_{b_{\mathrm{J}}} + RT_{b_{\mathrm{J}}}^{2} / E}{T_{\mathrm{m}}} \Biggr) \frac{1}{\delta} \Biggr), \quad T_{\mathrm{m}} = T_{\mathrm{g}} + \frac{Q_{\mathrm{m}}Y_{\mathrm{m}}}{c_{\mathrm{pg}}} L e^{1-m},$$

 $r_{\rm de}$ $\delta = 1\%$ — задаваемое отклонение от расчетной стационарной температуры выпламенного горения T_m .

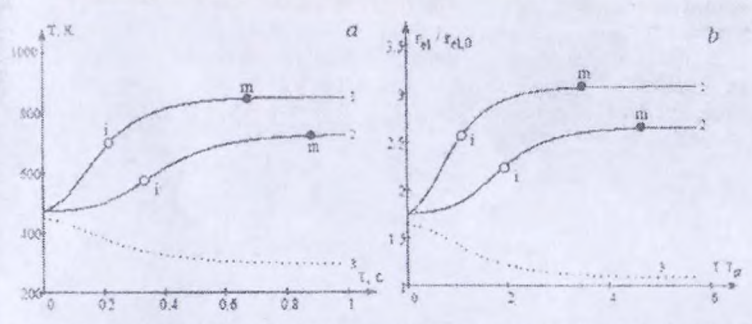


Рисунок 2. Временные зависимости а) температуры проволоки катынгатора со временем и b) относительного сопротивления проволоки лиаметром 100 мкм (Sh=0.51) в газовой смеси температуры 293К с примесью водорода: 1) $Y_o=0.19$ %, 2) $Y_o=0.15$ %, 3) $Y_o=0.19$ % и 0.15%. Начальная температура проволоки: $T_{h1}=T_{h2}=470$ К, $T_{h3}=440$ К. Для $Y_o=0.19$ % критическое значение начальной температуры $T_{h1}=445$ К, для $Y_o=0.15$ % — $T_{h1}=463$ К, C=0.16 м и 0.15%. Соответственно. Характерное время: $T_{h1}=463$ К и $T_{h2}=463$ К и $T_{h3}=463$ К и $T_{h3}=463$ К и $T_{h4}=463$ К и 0.15%, соответственно. Характерное время:

$$\tau_{\alpha} = c_c \rho_c d / \left(4\beta c_{\rho\rho} \rho_{\rho} L e^{-14\pi} \right)$$

Выводы. Впервые аналитически получены зависимости стационарного сопротивления платиновой проволочки катализатора от температуры газовоздупной смеси и концентрации примеси водорода, который проявляют гистерезисный характер. Они могут быть использованы в экспериментальных методах исследования термокинетических характеристик каталитического горения газовоздушной смеси с примесью водорода.

Каталитическое горение холодных водородно-воздушных смесей возможно при повышении начальной температуры проволоки выше критического значения зажигания. Увеличение концентрации горючего газа в несколько раз практически не влияет на критическое значение начальной





температуры и сопротивления проволок, необходимое для каталитической воспламенения (рис. 2). Это объясняется тем, что каталитическое воспламенения протекает в основном в кинетическом режиме каталитической реакции, соглами которому критическая температура зажигания является слабой функции концентрации примеси горючего газа.

Аналогичные результаты использования проволоки (частицы) иметаллов платиновой группы и их сплавов в качестве катализатора окисления можно получить при рассмотрении реакций окисления и каталитического горения оксида углерода, углеводородов (метана, бензола, пропана, бутана) при правильном выборе макрокинетических условий.

ЛИТЕРАТУРА

- 1. Trevino C., Higuera F. J. and Linan A. Transient ignition and combustion of diluted hydrogen/air mixtures by a thin catalytic wire// Proceedings of the Combustion Institute. 2002. Vol. 29 P. 981 988.
- Mitu Maria, Razus Domnina, Oancea Dumitru Coupled Catalytic/Gas Phase Ignition of Propane-Oxygen-Inert Mixtures on an Isothermally Heated Platinum Filament Supported on Quartz Bar // Revista de Chimie (Bucharest) – 2018.
 Vol. 69(4). – P. 870 – 874.
- 3. Liqun Wu, Ting Zhang, Hongcheng Wang, Chengxin Tang and Linan Zhang A Novel Fabricating Process of Catalytic Gas Sensor Based on Droplet Generating Technology // Micromachines. 2019. Vol. 10 (1). P. 71.
- 4. Франк-Каменецкий Д.А. Диффузия и теплопередача в химической кинетике. М.: Наука, 1987. 502 с.
- Физическая энциклопедия/ Гл. ред. А. М. Прохоров, редкол.: Д. М. Алексеев [и др.]. Т.1. Сов. энцикл., 1983. 704 с.
- Kalinchak, V. V.; Chernenko, A. S.; Sofronkov A. N., Fedorenko A.V. Influence of Thermal Diffusion on the Hysteresis's Area of Hydrogen Impurities's Catalytic Combustion on Platinum Wire // Physics and chemistry of solid state. – 2017. – T.18, Vol.1. – P. 52 – 57.
- Soubaihi R. M., Saoud K.M. and Dutta J. Critical Review of Low-Temperature CO Oxidation and Hysteresis Phenomenon on Heterogeneous // Catalysts. – 2018. – Vol. 8(12). – P. 660 – 666.
- 8. Калінчак В. В., Черненко О. С., Шевчук В. Г., Софронков О. Н., Селіванов С. Є. Період індукції і температура горіння колодних газоповітряних сумішей з домішками горючого газу на платиновій частинці (нитці) // Матеріали V міжнародної науково-практичної конференції «Безпека життєдіяльності на транспорті і виробництві освіта, наука, практика», м. Херсон, 13-15 вересня 2018 року. С. 148 157.





PLECTRIC RESISTENCE HYSTERESIS OF PLATINUM FILAMENT IN CHILLED AIR/HYDROGEN MIXTURES

Kalinchak V.V., Chernenko O.S Odessa National University named after I. I. Mechnykov (Odessa, Ukraine)

Fedorenko A.V., Kramarenko V.V.

Danube Institute National University «Odessa Maritime Academy»
(Izmail, Ukraine)

Sclivanov S.E. Kherson State Maritime Academy (Kherson, Ukraine)

Sofronkov O.N. Odessa State Ecological University (Odessa, Ukraine)

Introduction. Aimed control of oxidation and flameless combustible gases combustion on platinum group particles and thin wire filaments by means of choosing dispersivity (diameter), relative combustible gas concentration and other ambient factors contributing to catalyst's thermal hysteresis construes a persistent and insufficiently studied problem [1-4]. A single wire (thread) filament of metallic catalyst (platinum group metals and their alloys) preheated by electric current and individual fine particles are still being used in research on macrokinetic mechanism of heterogeneous oxidation and flameless combustion [1, 2]. With correct selection of catalyst filament diameter, combustible gas content in air, air/gas mixture temperature and appropriate preheating with electric current catalytic ignition becomes possible with eventual flameless combustion of gaseous mixture. This process may occur under certain combustible gas concentration even with relatively cool air/gas mixtures providing that initial wire filament temperature or preheating by electric current exceed critical value of catalytic ignition point.

Thin metallic catalyst filament is normally applied as an initial sensor of thermochemical gas detector indicating presence of combustible gases in air/gas mixtures. Its operation is based on application of upper high-temperature regime of hysteretic (binary) relation between catalyst metallic filament temperature and combustible gas admixture concentration in air gas mixture with steady heating by electric current and air/gas flow temperature [3]. The upper steady mode is described by linear relation of flameless combustion temperature and combustible gas admixture content for thin filament, where heat losses with radiation may be ignored [4].

Hysteresis in general is described as a phenomenon consisting in multiple correlation between physical value describing system status and physical value describing ambient conditions [5]. Hysteresis occurs when an instantaneous object condition is determined by ambient conditions prevailing not only at the moment but